

周波數 跳躍 패턴을 위한 Kumar 符號계열 發生 알고리즘 및 相關函數 特性에 관한 研究

(A Study on the Generating Algorithm and the Correlation Function of
Kumar Code Sequences for the Frequency Hopping Patterns)

李 正 宰* 韓 榮 烈**

(Jeong Jae Lee and Young Yeul Han)

要 約

本文에서는 FH-CDMA를 위한 一般化한 bent 계열에 基礎를 둔 Kumar 符號계열 發生 알고리즘을 分析하고 쉬프트 레지스터 段數 $n=4$ 일때 GF(5)에서 符號계열을 發生시켜 符號계열 간의 해밍相關函數 特性과 基本波形으로 正弦波칩(chip)을 利用했을 경우 完全한 跳躍信號에 대한 時間-周波數 相關函數 特性을 分析하였다.

Abstract

In this paper we discuss the generating algorithm of Kumar code sequences which are based on generalized bent sequences for FH-CDMA. The code sequence generator was constructed for the shift register stages $n=4$ over GF(5). Finally we analyze the characteristics of Hamming correlation between two code sequences and the time-frequency correlations of the complete waveforms with the sinusoidal chips as the elemental waveforms.

I. 序 論

符號分割多重接近(Code Division Multiple access : CDMA) 通信 시스템은 크게 大別하여 DS-CDMA (direct sequence-CDMA) 와 FH-CDMA (frequency hopped-CDMA) 의 두 種類로 分類할 수 있으며 FH-CDMA를 위한 擴散符號계열은 DS-CDMA 경우와

달라 알파벳트 크기가 크며 이는 周波數 合成器에서 發生되는 周波數와 1 : 1로 對應된다. FH-CDMA에서의 干涉은 두 利用者 사이에서 發生되는 周波數가 同時에 同一周波數를 共有할때 發生되며 이를 防止하기 위하여 利用者들 사이에 利用되는 擴散符號계열간의 해밍거리는 設計品質의 尺度가 된다. 이상적인 擴散符號계열은 계열간의 해밍거리를 最大로 갖게 하는 것이며 반면 DS-CDMA는 계열들 사이의 相關函數를 最小化하는 것이다.

FH-CDMA를 위한 代表的인 符號는 Reed-Solomon 符號를 利用한 有限番地符號^[1], 最的符號(optimal hamming correlation codes),^[2] 素數符號(primitive codes)^[3] 등이 알려져 있으며 최근 bent 函數를 利用한

*正會員, 東義大學校 電子通信工學科
(Dept. of Elec. Comm. Eng., Dongeui Univ.)

**正會員, 漢陽大學校 電子通信工學科
(Dept. of Elec. Comm. Eng., Hanyang Univ.)

接受日字 : 1989年 6月 13日

擴散符號계열이 OSW^[4]에 의하여 DS-CDMA용으로 제안되었으며 Kumar^[5]에 의하여 FH-CDMA용 跳躍 패턴을 위한 符號계열(이하 Kumar 符號계열이라 칭함)이 연구되었다.

本文에서는 3보다 큰 素數 p를 알파벳트 크기라고 하고 쉬프트 레지스터 段數가 $n \equiv 0 \pmod{4}$ 인 조건에서 週期 $L = p^n - 1$ 이고 最大 해밍相関函數가 $p^{n-1} + p^{n/2} - p^{n/2-1}$ 인 特性을 갖는 Kumar 符號계열을 發生시킬 수 있는 發生알고리즘을 分析하고 $n=4$, $GF(5)$ 에서 Kumar 符號계열을 發生시켜 符號계열간의 해밍相関函數 特性이 最大 145를 넘지 않고 發生된 符號계열은 平衡特性을 갖게됨을 보였다. 또한 基本波形으로 正弦波 칩(chip)을 利用했을 경우의 完全한 跳躍信號에 대한 時間-周波數 相関函數(time-frequency correlation) 特性을 分析하였다.

II. Trace函數와 m-계열

Trace函數는 아래와 같이 定義되며 m-계열 發生기에 의하여 쉽게 發生된다.

$$\text{tr}_1^n(x) = \sum_{i=0}^{n-1} x^{p^i}, \quad x \in GF(p^n) \quad (1)$$

만약 $\{b_n\}$ 이 $GF(p)$ 에서 次數 d인 原始多項式 $m_\alpha(x)$ 를 갖는 m-계열이라하면 $GF(p^n)$ 에 다음 조건을 만족하는 元素 $\beta (\beta \neq 0)$ 가 존재한다.

$$\{b_n\} = \{\text{tr}_1^n(\beta \alpha^n)\} \quad (2)$$

한편 Trace函數는 다음과 같은 特性을 갖는다^[6]

a) α 가 $GF(p^n)$ 안에 있을 때 $\text{tr}_1^n(\alpha)$ 는 $GF(p)$ 안에 있다.

$$b) \text{tr}_1^n(\alpha^p) = \text{tr}_1^n(\alpha), \quad \alpha \in GF(p^n) \quad (3)$$

$$c) \text{tr}_1^n(a\alpha + b\beta) = a\text{tr}_1^n(\alpha) + b\text{tr}_1^n(\beta),$$

$$a, b \in GF(p), \quad \alpha, \beta \in GF(p^n) \quad (4)$$

$$d) \text{tr}_1^n(\alpha) = \text{tr}_k^n(\text{tr}_k^n(\alpha)) \quad (5)$$

여로서 $n=4$ 일 때 $GF(5)$ 에 대한 原始多項式은 $m_\alpha(x) = x^4 + x^2 + 2x + 2$ 이며^[7] Galois 형태 m-계열 發生器를 構成하면 그림 1과 같다. 따라서 發生된 m-계열과 Trace函數는 다음과 같은 關係를 갖는다. 그림 1과 (2)로부터 $b_n = (x_4)_n = \text{tr}_1^4(\beta \alpha^n)$ 의 關係를 갖게 되고 쉬프트 레지스터 내용 x_1, x_2, x_3, x_4 는 $x_1 = 1, x_2 = x_3 = x_4 = 0$ 로 初期化되며 α 를 $GF(5^4)$ 의 原始元이라 하면 $b_0 = (x_4)_0 = \text{tr}_1^4(\beta)$ 로부터 컴퓨터를 利用하여 $\beta = \alpha^{591}$ 이 됨을 쉽게 發見할 수 있다. $\{b_n\} = \{(x_4)_n\} = \text{tr}_1^4(\alpha^{591 \oplus n})$ 의 關係를 利用하여 Trace

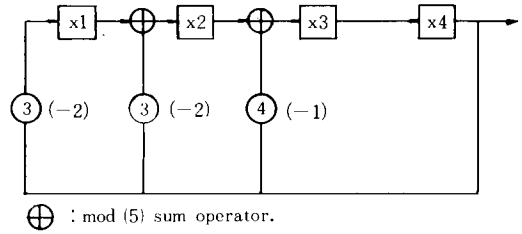


그림 1. GF(5)에서의 Galois 形態 m-계열發生器
Fig. 1. Galois configuration m-sequence generator over GF(5).

函數의 모든값을 구할 수 있으며 $\text{tr}_1^4(\cdot)$ 에서의 \oplus 는 mod(624)의 연산을 意味한다.

III. Kumar 符號發生 알고리즘

FH(frequency hopping) 패턴을 위한 擴散符號계열의 重要 設計요건은 알파벳트 크기 p와 符號계열의 週期 L, 符號계열의 群 M과 最大 해밍相関函數 Hmax이며 특히 Hmax를 最小化하여야만 한다. 길이 L인 두 계열 $X = \{x(j)\}, Y = \{y(j)\}$ 의 正規化되지않은 해밍相関函數 Hxy는 다음과 같이 定義된다.

$$H_{xy}(\tau) = \sum_{j=0}^{L-1} h[x(j), y(j+\tau)], \quad 0 \leq \tau < L \quad (6)$$

$$h[x, y] = \begin{cases} 0, & x \neq y \\ 1, & x = y \end{cases}$$

i 번째 FH패턴에 關聯된 符號계열을 다음과 같이 나타내면

$$\{a_k^{(i)} \mid k=0, 1, \dots, L-1\}, \quad 0 \leq i \leq M \quad (7)$$

最大 해밍相関函數는 아래와 같이 定義된다.

$$H_{\max} = \max_{i \neq j} \{H_{ij}(\tau) \mid i \neq j \text{ 또는 } \tau \neq 0\} \quad (8)$$

여기서 $H_{ij}(\tau) = |\{k \mid 0 \leq k \leq L-1, a_k^{(i)+\tau} = a_k^{(j)}\}|$ J_m^n 은 어느 정수 n에 대하여 modulo n이 되는 모든 m-tuples의 集합을 나타낸다고 定義하고 p가 素數이고 n이 짝수면 $m = n/2$ 이며 $L = p^n - 1$ 이 된다. $f_0(x)$ 를 J_p^m 에서 一般化한 bent 函數라 하면 $f_v(x)$ 는 $\underline{v} \in J_p^m$ 에서 다음과 같이 표현된다^[5]

$$f_v(x) = f_0(x) + \underline{v}^T X, \quad \forall X \in J_p^m \quad (9)$$

여기서

$$f_0(\underline{x}) = x_1 x_2^{p-1}, \forall \underline{x} \in J_p^m \tag{10}$$

$\{\gamma_1, \gamma_2, \dots, \gamma_m\}$ 을 GF(p)에서 GF(p^m)에 대한 基底라 하고 $\sigma \in GF(p^n) \setminus GF(p^m)$ 라 하면 p^m群의 Kumar 符號계열이 다음과 같이 定義된다.

$$S_{\underline{v}}(k) = f_{\underline{v}}\{tr_1^n(\alpha^k \gamma_i), i=1, 2, \dots, m\} + tr_1^n(\alpha^k \sigma) \tag{11}$$

여기서 $0 \leq k \leq L-1$ 이며 p^{m+1} 符號계열군 C가 다음 같이 형성될 수 있으며

$$C = \{C_k^{\underline{v}, b} = S_{\underline{v}}(k) + b, S_{\underline{v}}(k) \in G, b \in J_p\} \tag{12}$$

여기서 $G = \{S_{\underline{v}}(k) \mid \underline{v} \in J_p^m\}$ 이다. C의 符號계열간의 最大 海밍相關函數는 다음 조건을 만족한다.

$$H_{max} \leq p^{n-1} + p^m - p^{m-1} \tag{13}$$

IV. FH 패턴을 위한 Kumar 符號계열 發生

發生 모델로서 알파벳트 크기가 p=5라 하고 쉬프트 레지스터 段數 n=4인 경우 m=n/2=2이며 週期 L=pⁿ-1=624인 조건에서 發生되는 Kumar 符號계열을 택한다. (10)에서

$$f_0(\underline{x}) = x_1 x_2 + x_2^4 \tag{14}$$

$$(9) \text{에서 } f_{\underline{v}}(\underline{x}) = x_1 x_2 + x_2^4 + \underline{v}^T \underline{X}, \underline{X} \in J_5^2, \underline{v} \in J_5^2 \tag{15}$$

$$(11) \text{에서 } S_{\underline{v}}(k) = f_{\underline{v}}\{tr_1^4(\alpha^k \gamma_i), i=1, 2\} + tr_1^4(\alpha^k \sigma) \tag{16}$$

로 되며 여기서

$$\underline{X} = \begin{pmatrix} x_1 \\ x_2 \end{pmatrix} = \begin{pmatrix} tr_1^4(\alpha^k \gamma_1) \\ tr_1^4(\alpha^k \gamma_2) \end{pmatrix}, \quad \underline{v} = \begin{pmatrix} v_1 \\ v_2 \end{pmatrix} \text{이다.}$$

GF(5)에서 GF(5²)의 基底 γ_1, γ_2 를 GF(5⁴)의 原始元 α 로 표현하고 Q를 GF(5²)에서 α 로 표현되는 가장 작은 누승의 크기라면 $Q = (p^4-1)/(p^2-1) = 26$ 이 된다. 따라서 $\{\gamma_1, \gamma_2\} = \{\alpha^{26i}, i=0, 1\}$ 이며 한편 σ 는 GF(5⁴)에는 包含되지만 GF(5²)에 包含되지 않아야 하기 때문에 σ 를 α 로 정한다. 이를 종합하여 利用하면

(16)에서

$$\begin{aligned} S_{\underline{v}}(k) &= x_1 x_2 + x_2^4 + \underline{v}^T \underline{X} + tr_1^4(\alpha^{k+1}) \\ &= tr_1^4(\alpha^k) tr_1^4(\alpha^{k+26}) + \{tr_1^4(\alpha^{k+26})\}^4 \\ &\quad + tr_1^4(\alpha^{k+1}) + v_1 tr_1^4(\alpha^k) + v_2 tr_1^4(\alpha^{k+26}) \end{aligned} \tag{17}$$

따라서 125개의 符號계열군이 다음식에 의하여 發生된다.

$$C = \{C_k^{\underline{v}, b} = S_{\underline{v}}(k) + b, S_{\underline{v}}(k) \in G, b \in J_5\} \tag{18}$$

표 1은 v₁=0, v₂=0, b=0일때 發生된 Kumar 符號계열을 나타낸다. 표 2는 v₁=v₂=1, b=4일때 發生된 Kumar 符號계열을 나타내며 각각의 경우 GF(5)안에 있는 정수들의 갯수가 最大 1이상의 差異를 갖지 않는 平衡特性을 갖게됨을 알 수 있다. 그림 2는 $\underline{v}^T = (0, 0)$ 그리고 b=0일때 發生된 Kumar 符號계열의 海밍自己相關函數 特性을 보이고 있으며 그림 3은 $\underline{v}^T = (0, 0)$, b=0일 경우와 $\underline{v}^T = (1, 1)$, b=4일 경우에 發生된 Kumar 符號계열간의 海밍상호 相關函數 特性을 나타내고 있다. $\tau=0$ 일 경우를 제외한 相關函數 最大値는 145로서 $H_{max} \leq p^{n-1} + p^m - p^{m-1} = 145$ 의 조건을 만족함을 알 수 있다.

V. 周波數 跳躍信號의 時間-周波數 相關函數 特性

x(t)를 基本波形으로 $\int_{-\infty}^{\infty} x^2(t) dt = 1$ 의 特性을 갖

표 1. Kumar 符號계열 (n=4, $\underline{v}^T = (0, 0)$ 그리고 b=0)

Table 1. Kumar code sequence for n=4, $\underline{v}^T = (0, 0)$, and b=0.

3413433242343110323410022410222010331400204243203231214143113002134034121002
1032413003431022142204442111142132023331024344311304422412104010334422142242
0033424130202442422121103111020144414321200033002123343344312320304011431144
030422043430013033044342133342223332403133024303341100234134200212111334012
21404201334044123133344413213443230413344110410001123041212233441322020221201
0241013120411423324431234114411114223403110002200344113114031131440034440241
1213430220424000323002404334334424430034211400303400404000101212103101431030
1410020230124222201114322001022142222344234232040113213222411200223201300434
0432201013103224
NO. of '0'=124 NO. of '1'=125 NO. of '2'=125 NO. of '3'=125 NO. of '4'=125

표 2. Kumar 符号계열 ($n=4, \underline{V}^T=(1, 1)$ 그리고 $b=4$.)

Tablg 2. Kumar code sequence for $n=4, \underline{V}^T=(1, 1)$, and $b=4$.

4111442300444011214432421124043412214334422441311030042443433214223230002100
4342102333210111442321222341040200241232014002442412122004222431112321103131
0414220343130123213410413102423014200313442433203301014211033440402040332431
3111443033222202214314001300024324012103324333401023433430213230402433020420
0034012404202104010103210244403114231403220040041213101321023441102101433142
3431231120142313304423124441021140202200211101023220310131232413302133010240
4140124104444321022003424204224102304333341323214314230321102331214223013333
1303224330330324040221431040144120334101100213321033400023421201040244331314
1041443012040134
NO. of '0'=125 NO. of '1'=125 NO. of '2'=125 NO. of '3'=125 NO. of '4'=124



그림 2. Kumar 符号계열의 해밍自己相関函数 ($n=4, \underline{V}^T=(0, 0)$, 그리고 $b=0$)

Fig. 2. Hamming auto-correlation of Kumar sequence for $n=4, \underline{V}^T=(0, 0)$, and $b=0$.



그림 3. Kumar 符号계열 1 ($n=4, \underline{V}^T=(0, 0)$ 그리고 $b=0$) 과 Kumar 符号계열 2 ($n=4, \underline{V}^T=(1, 1)$ 그리고 $b=0$)의 해밍相互相関函数

Fig. 3. Hamming cross-correlation between Kumar sequence 1 for $n=4, \underline{V}^T=(0, 0)$ and $b=0$, and Kumar sequence 2 for $n=4, \underline{V}^T=(1, 1)$ and $b=4$.

는다고 하고 L 을 符号계열의 週期라고 하면 j 번째 符号계열에 의해 發生되는 完全한 信號 $y_j(t)$ 는 다음 같이 定義된다.^[9]

$$y_j(t) = (1/\sqrt{L}) \sum_{n=1}^L x(t-nT) \exp(i \omega_{jn} t)$$

(19)

여기서 T 는 基本波形 $x(t)$ 의 칩(chip)구간이며 ω_{jn} 은 j 번째 完全한 파형의 n 번째 基本波形的 角周波數 (angular frequency)이다. $1/\sqrt{L}$ 은 $y_j(t)$ 가 단위에너지를 갖도록 正規化하였다. 두 信號 $y_j(t)$ 와 $y_k(t)$ 의 時間-周波數 相関函数 $\phi_{y_j y_k}(\tau, \omega)$ 는 다음과 같이 定義된다.

$$\phi_{y_i y_k}(\tau, \omega) = \int_{-\infty}^{\infty} y_j(t - \tau/2) y_k^*(t + \tau/2) \exp(i\omega t) dt \quad (20)$$

여기서 $y_k^*(t)$ 는 $y_k(t)$ 의 共厄 複素函數를 나타낸다. (19)를 (20)에 대입하면

$$\phi_{y_j y_k}(\tau, \omega) = (1/L) \sum_{m=1}^L \sum_{n=1}^L \phi_{xx}(\Delta T + \tau, \Delta \omega + \omega) \exp\{i(\omega + \Delta \omega)[(m+n)/2]T - i[(\omega_{jm} + \omega_{kn})/2]\tau\} \quad (21)$$

로 되며 여기서 $\Delta T = (m-n)T$, $\Delta \omega = \omega_{jm} - \omega_{kn}$ 이다. 만약 $m=n$ 이면 (21)에서

$$\phi_{y_j y_k}(\tau, \omega) = (1/L) \sum_{m=1}^L \phi_{xx}(\tau, \omega) \exp(i\omega mT - i\omega_m \tau) \leq \phi_{xx}(\tau, \omega) g(\tau, \omega) \quad (22)$$

$$g(\tau, \omega) = |(1/L) \sum_{m=1}^L \exp(i\omega mT - i\omega_m \tau)| \quad (23)$$

$$\omega_m = (\omega_{jm} + \omega_{km})/2$$

이다. 이 函數는 周波數 跳躍패턴에 의해 결정되는 函數로서 時間-周波數 相關函數를 결정하는 중요한 函數가 된다. $x(t)$ 를 진폭이 일정한 正弦波로 다음과 같이 定義되는 函數라하면 이 경우 $x(t)$ 의 跳躍되기전 고유 周波數는 고려하지 않는다.

$$x(t) = \begin{cases} 1/\sqrt{T}, & |t| \leq T/2 \\ 0, & |t| > T/2 \end{cases} \quad (24)$$

$x(t)$ 의 時間-周波數 自己相關函數 $\phi_{xx}(\tau, \omega)$ 는 다음과 같이 된다.

$$\phi_{xx}(\tau, \omega) = \begin{cases} [1 - |\tau|/T] (\sin(\omega T/2) [1 - (|\tau|/T)]) / ((\omega T/2) [1 - (|\tau|/T)]), & |\tau| \leq T \\ 0, & |\tau| > T \end{cases} \quad (25)$$

그림 4는 $\phi_{xx}(\tau, \omega)$ 를 τ/T 와 $\omega T/2\pi$ 를 축으로 하여 구간 $-1 \leq \tau/T \leq 1$ 과 $-1 \leq \omega T/2\pi \leq 1$ 에서 나타낸 것이다. $\phi_{xx}(\tau, \omega)$ 는 τ 와 ω 에 대하여 대칭이며 $\tau=0, \omega=0$ 때 最大값이 1임을 알 수 있다. 그림 5에서 $n=4, v_1=v_2=0, b=0$ 일때 發生된 Kumar 符號계열에 의해 결정되는 函數 $g(\tau, \omega)$ 가 τ/T 와 $\omega T/2\pi$ 축 $-1, 0, 1$ 인 축상에서 最大값을 갖게됨을 알 수 있다. 그림 6은 (22)에서 $j=k$ 일때 定義되는 時間-

周波數 自己相關函數 特性을 구간 $-1 \leq \tau/T \leq 1, -1 \leq \omega T/2\pi \leq 1$ 에서 보여주고 있으며 표 3은 時間-周波數 自己相關函數 $\phi_{y_j y_j}(\tau, \omega)$ 의 代表的으로 큰 값을 각 좌표에 따라 나타낸 것이다. 그림 6과 표 3에서 알 수 있는 바와 같이 時間-周波數 自己相關函數 $\phi_{y_j y_j}(\tau, \omega)$ 는 $\tau=0, \omega=0$ 에서 最大값 1을 갖고 $|\tau/T|$ 가 0.3을 초과하면 대략 最大값의 0.15 이하로 감소됨을 알 수 있다. 또한 $|\omega T/2\pi|$ 의 값은 0.05만 초과하여도 0.06이하로 감소하여 $|\tau/T|$ 의 변화에 비하여 주파수의 변화 특성이 좋음을 알 수 있다.

VI. 結 論

本文에서는 FH-CDMA를 위하여 Kumer에 의해 提案된 一般化된 bent 函數를 利用한 擴散符號 계열

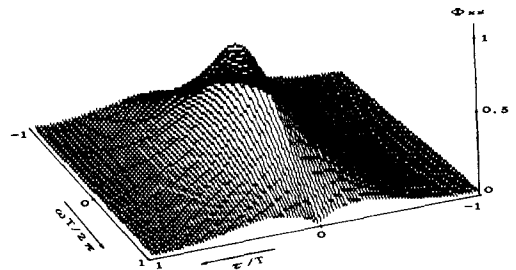


그림 4. $x(t)$ 의 時間-周波數 自己相關函數 形態
Fig. 4. The view of time-frequency autocorrelation function $\phi_{xx}(\tau, \omega)$ for $x(t)$.

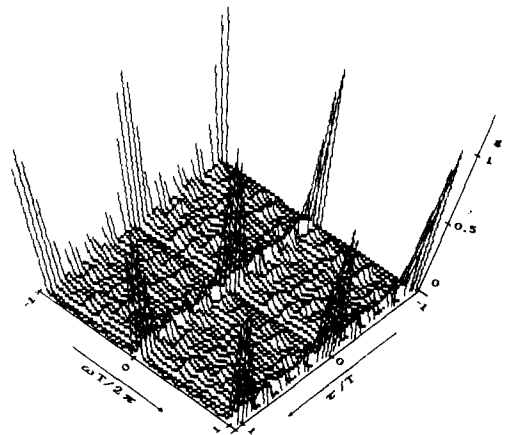


그림 5. $g(\tau, \omega)$ 의 形態
Fig. 5. The view of $g(\tau, \omega)$.

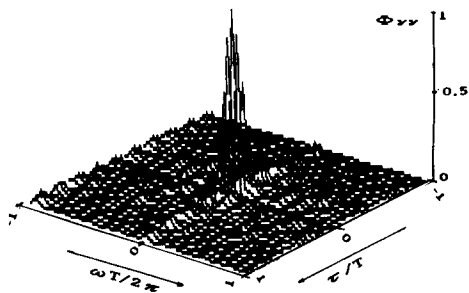


그림 6. $y_j(t)$ 의 時間-周波數 自己相関函數 形態
 Fig. 6. The view of time-frequency autocorrelation $\phi_{y_j y_j}(\tau, \omega)$ for $y_j(t)$.

표 3. τ/T 와 $\omega T/2\pi$ 에 대한 $\phi_{y_j y_j}(\tau, \omega)$ 의 대표적인 값
 Table 3. The significant values of $\phi_{y_j y_j}(\tau, \omega)$ for τ/T and $\omega T/2\pi$.

$\phi_{y_j y_j}(\tau, \omega)$	τ/T	$\omega T/2\pi$
0.0545587	-0.4	-0.05
0.1030351	-0.35	0.
0.1724238	-0.3	0.
0.1490243	-0.25	0.
0.2656557	-0.15	0.
0.5829997	-0.1	0.
0.8589782	-0.05	0.
1.	0.	0.
0.8589797	0.05	0.
0.5829976	0.1	0.
0.2656545	0.15	0.
0.1490246	0.25	0.
0.1724236	0.3	0.
0.1030348	0.35	0.
0.0512286	0.4	0.05

(kumar符號계열)의 發生 알고리즘을 分析하고 쉬프트레지스터 段數 $n=4$, 알파벳 크기 $p=5$ 인 경우 125개의 서로 다른 符號계열군 C중 $\underline{V}^T = (0, 0)$, $b=0$ 과 $\underline{V}^T = (1, 1)$, $b=4$ 인 두개의 계열을 發生시켜 週期가 624이고 한 週期에 동일 알파벳의 수가 124개 또는 125개로 平衡特性을 갖게되며 해밍自己相関函數 $H_{xx}(\tau) |_{\tau=0}$ 와 해밍 相互相関函數 $H_{xy}(\tau)$ 의 最大値는 $145(p^{n-1} + p^{n/2} - p^{n/2-1})$ 를 넘지 않음을 보였다.

한편 發生된 符號계열에 의해 周波數跳躍된 信號에 대한 時間-周波數 相関函數 特性은 기본과형을 정현파로 하였을 경우 $-1 \leq \tau/T \leq 1$ 과 $-1 \leq \omega T/2\pi \leq 1$ 의 구간에서 $\tau=0, \omega=0$ 에서 最大값을 갖고 $|\tau/T|$ 와 $|\omega T/2\pi|$ 가 각각 0.3과 0.05를 초과하면 부엽(side lobe)의 값이 0.12이하로 적어짐을 보였다. 또한 發生된 符號계열은 대응되는 周波數 空間에서 5개의 서로 다른 周波數 發生이 요구되므로 긴 週期에 비하여 帶域幅이 넓지 않아 周波數 發生器가 比較的 간단한 시스템으로 構成될 수 있고 주어진 알파벳 크기 에 비하여 發生群이 커($p^{n/2+1}$) 여러 利用者가 同時에 交信할 수 있다.

參 考 文 獻

- [1] G. Einarsson, "Address assignment for a time frequency coded spread-spectrum system," B.S.T.J vol. 59, no. 7, pp. 1241-1255, Sep. 1980.
- [2] Abraham Lampel and Haim Greenberger, "Families of sequences with optimal hamming correlation properties," IEEE Trans. Inform. Theory, vol. IT-20, no. 1, pp. 90-94, Jan. 1974.
- [3] Timothy J. Healy, "Coding and decoding for code division multiplier user communication system," IEEE Trans. Comm. vol. COM-33, pp. 310-315, April 1985.
- [4] J.D. Olson, R.A. Scholtz and L.R. Welch, "Bent-function sequences," IEEE Trans. Inform. Theory, vol. IT-28, no. 6, pp. 858-864, Nov. 1982.
- [5] P. Vijar Kumar, "Frequency hopping code sequence designs having large linear span," GLOCOM 84, vol. 2, pp. 989-993. 1984.
- [6] Marvin K. Simon and Jim K. Omura, Spread Spectrum communications, vol. I, Computer science press, Inc. 1985.
- [7] 宮川洋, 岩垂好裕, 今井秀樹, 符號理論, 昭光堂 付録 II pp. 529~534.
- [8] R.M. Mersereau and T.S. Seay, "Multiple Access Frequency Hopping patterns with low ambiguity," IEEE Trans. Aerospace and Electronic systems vol. AES-17, no. 4, July 1981.

著 者 紹 介



李 正 宰(正會員)

1950年 6月 30日生. 1973年 2月 서강대학교 전자공학과 졸업. 1987年 2月 한양대학교 전자통신공학과 박사과정수료. 1979年 12月~1984年 9月 한국기계연구소 근무. 1986年 9月~1987年 2月

삼성종합기술원 근무. 1987年 3月~현재 동의대학교 이공대학 전자통신공학과 전임강사. 주관심분야는 대역확산통신및 Pseudorandom부호계열 발생등임.



韓 榮 烈(正會員)

1938年 6月 10日生. 1960年 2月 서울대학교 전자공학과 졸업. 1976年 5月 미주리주립대학 전기공학과(공학석사). 1979年 5月미주리주립대학(공학박사), IEEE Senior Member, Member of sigma

-XI. 현재 한양대학교 전자통신공학과 교수. 주관심분야는 통신이론, 디지털통신, 이동무선통신, 위성통신 등임.